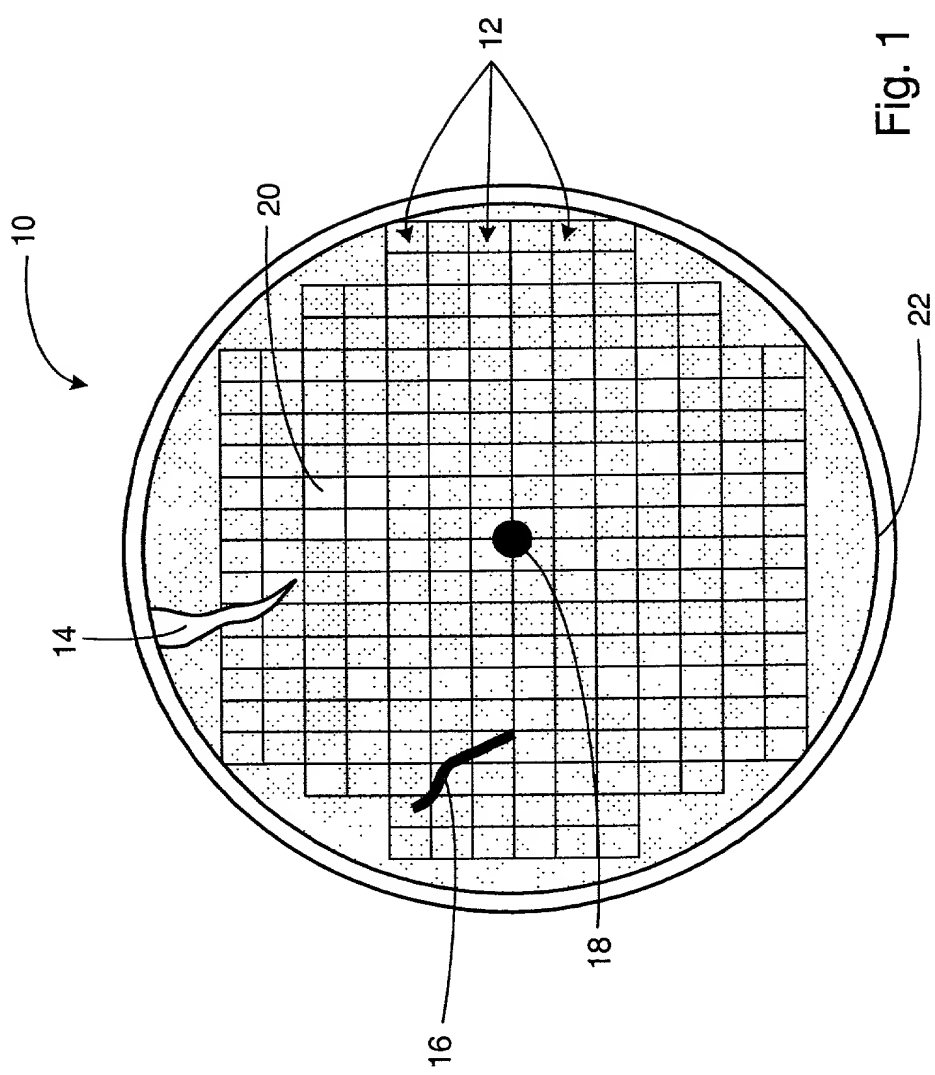


Fig. 1



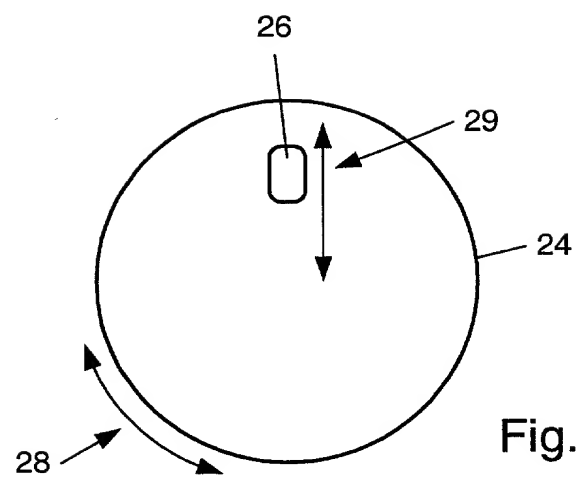


Fig. 2A

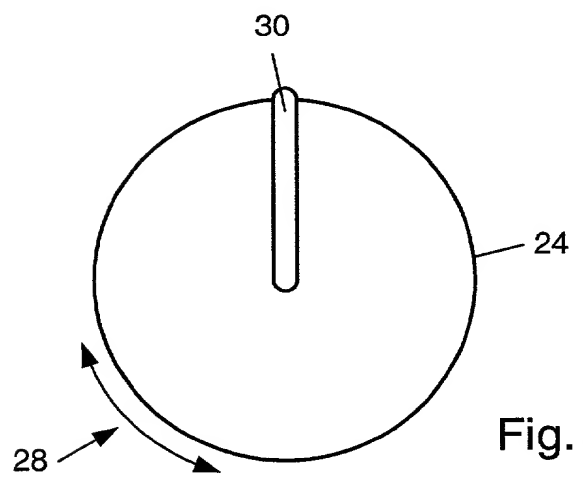


Fig. 2B

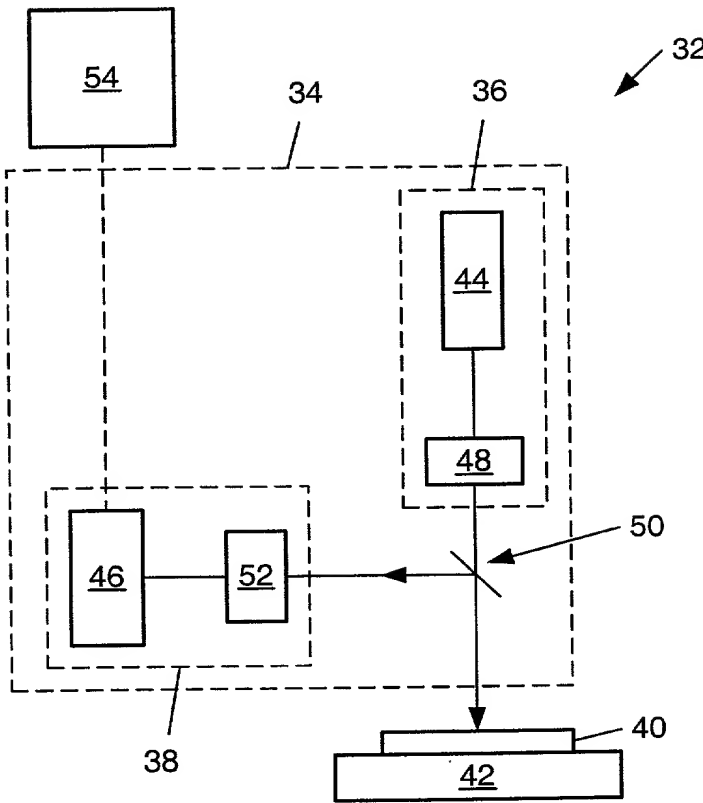


Fig. 3

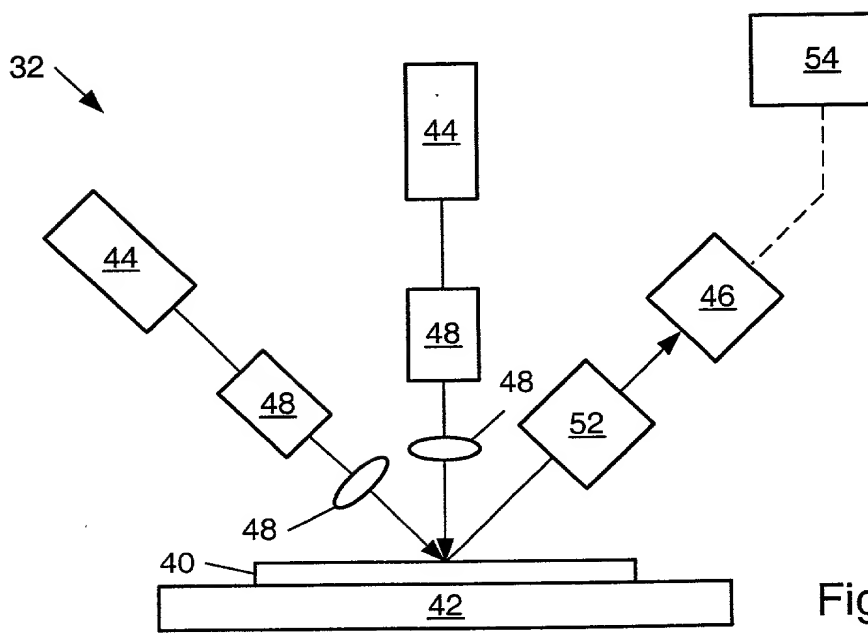


Fig. 4

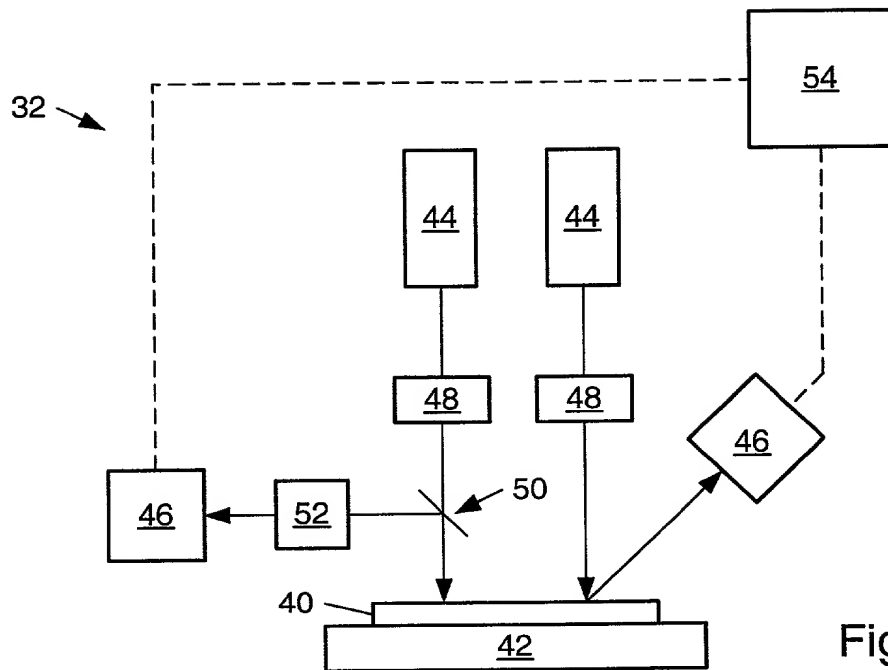


Fig. 5

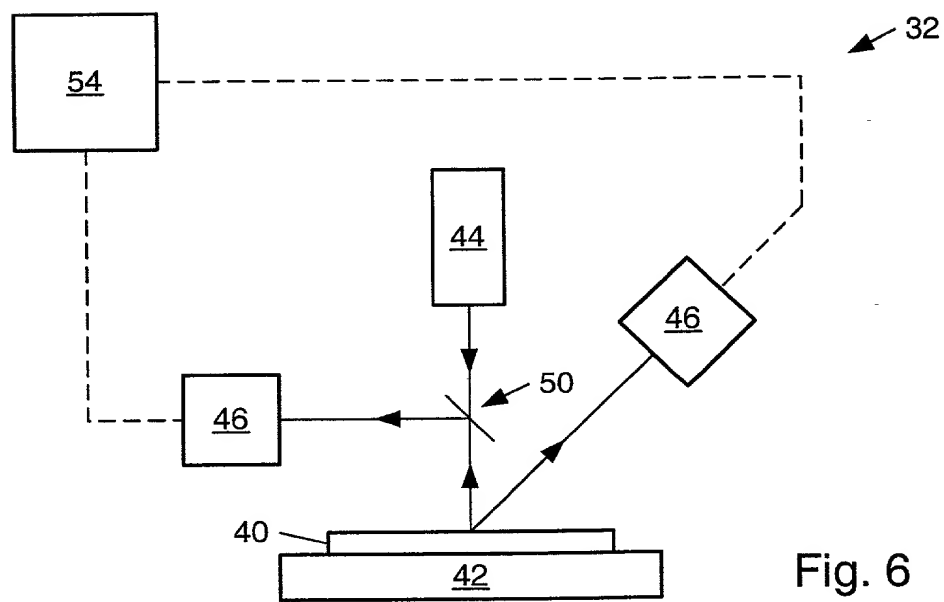


Fig. 6

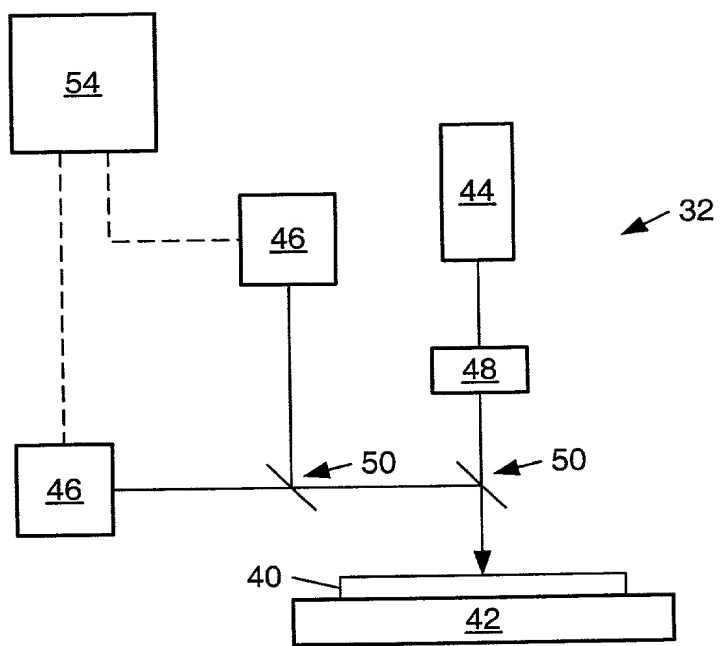


Fig. 7

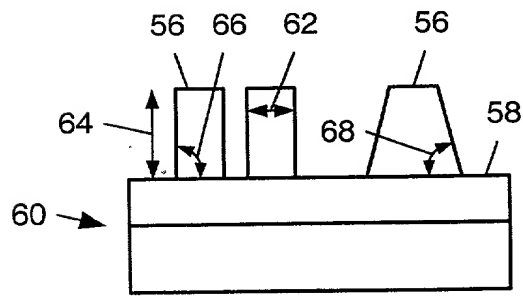


Fig. 8

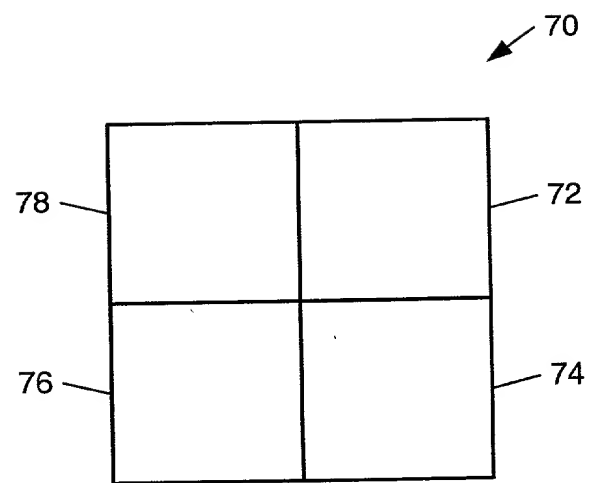


Fig. 9

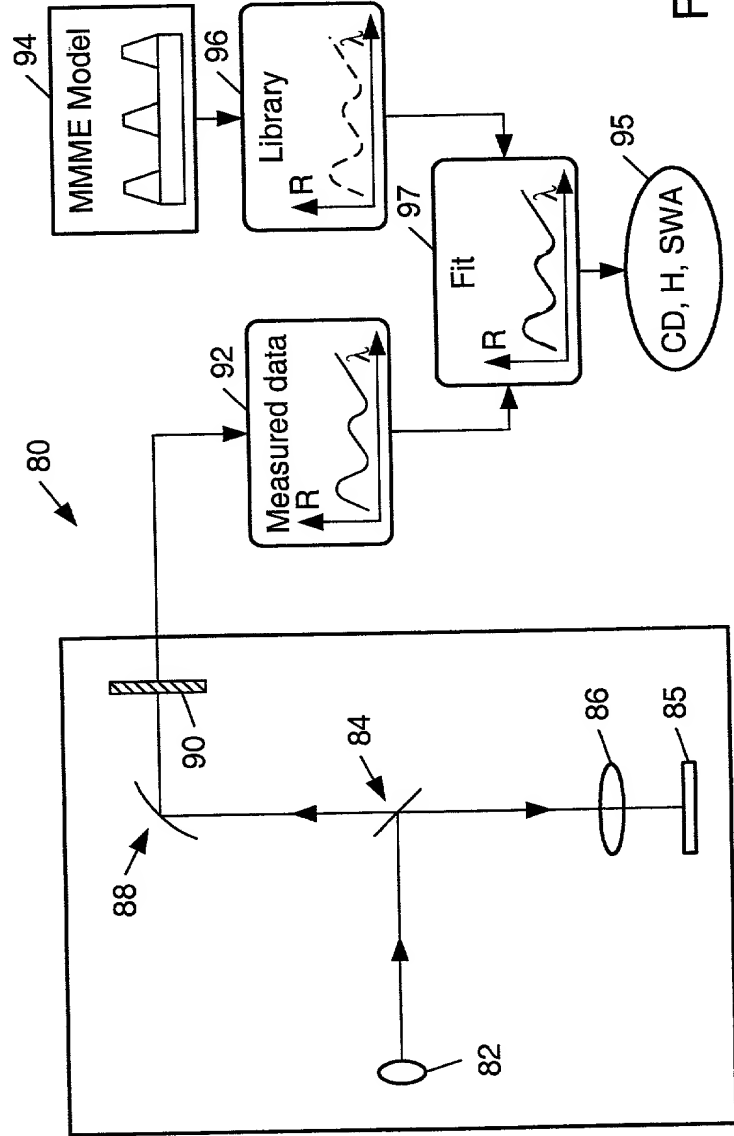


Fig. 10

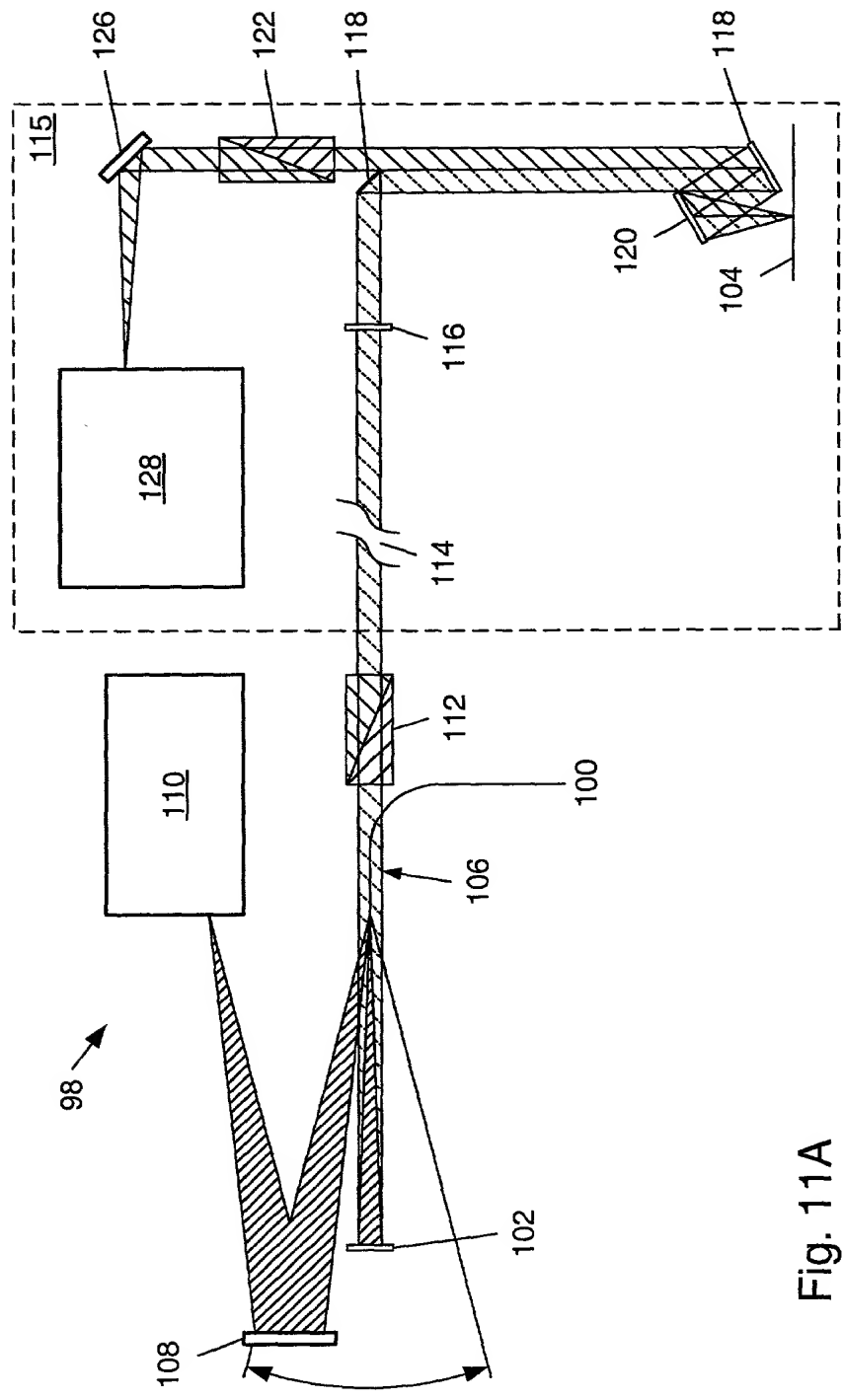


Fig. 11A

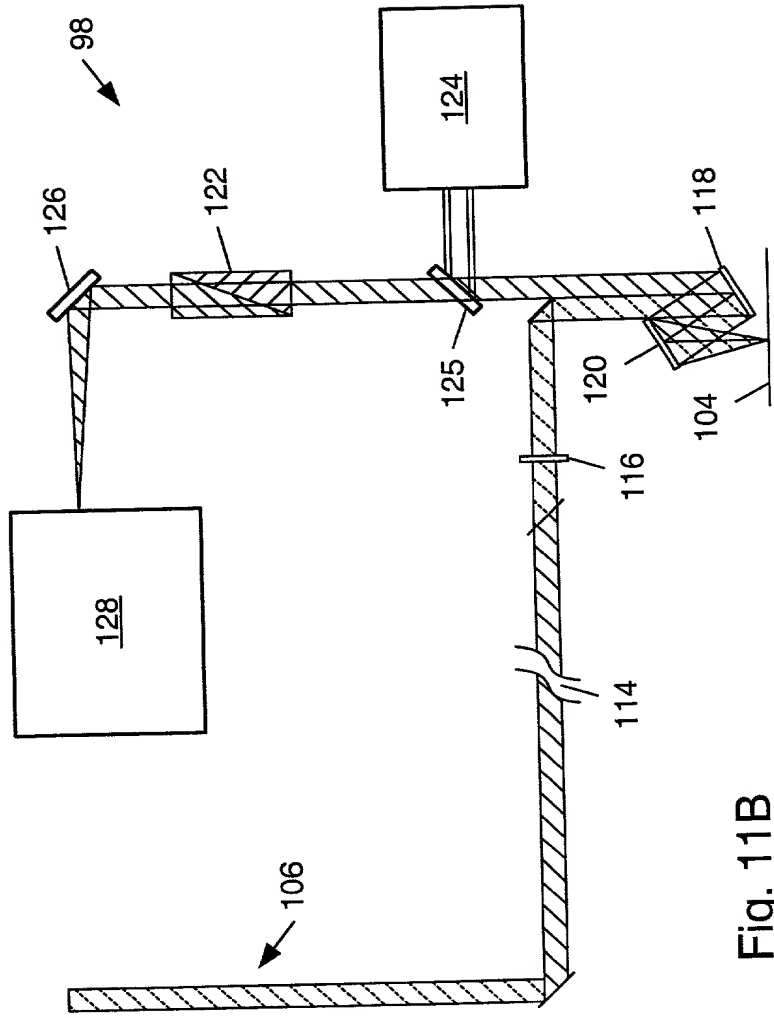


Fig. 11B

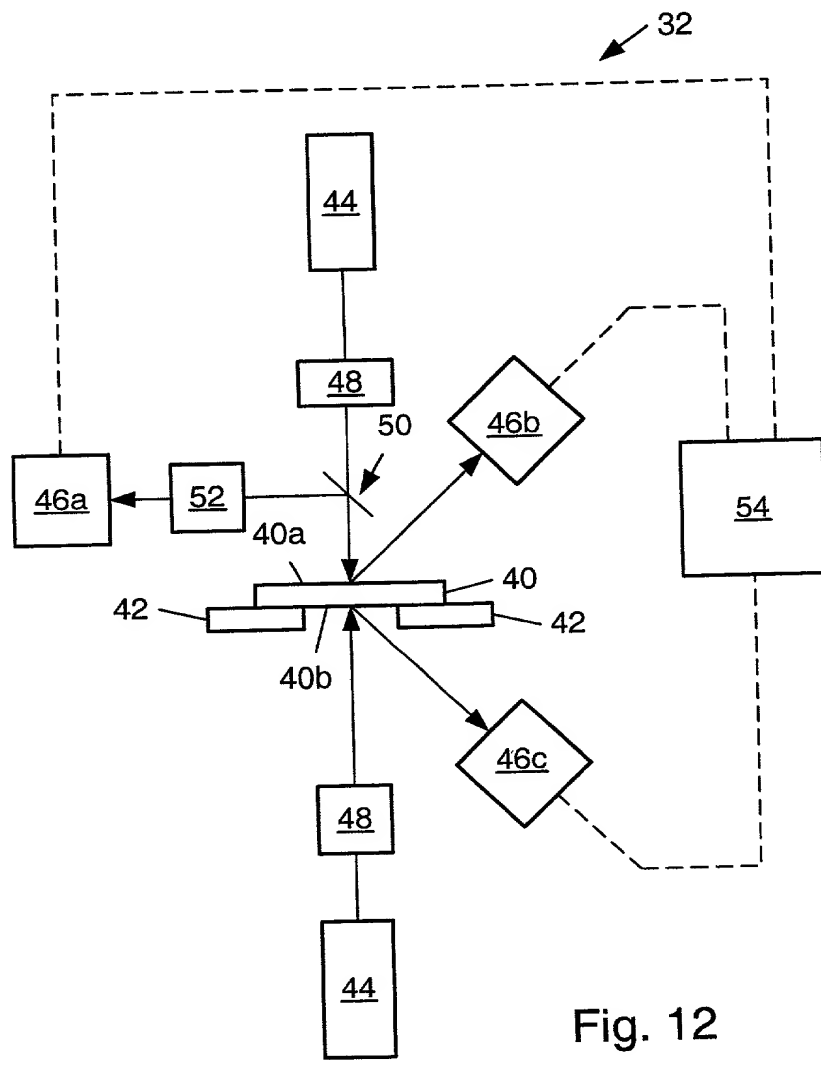
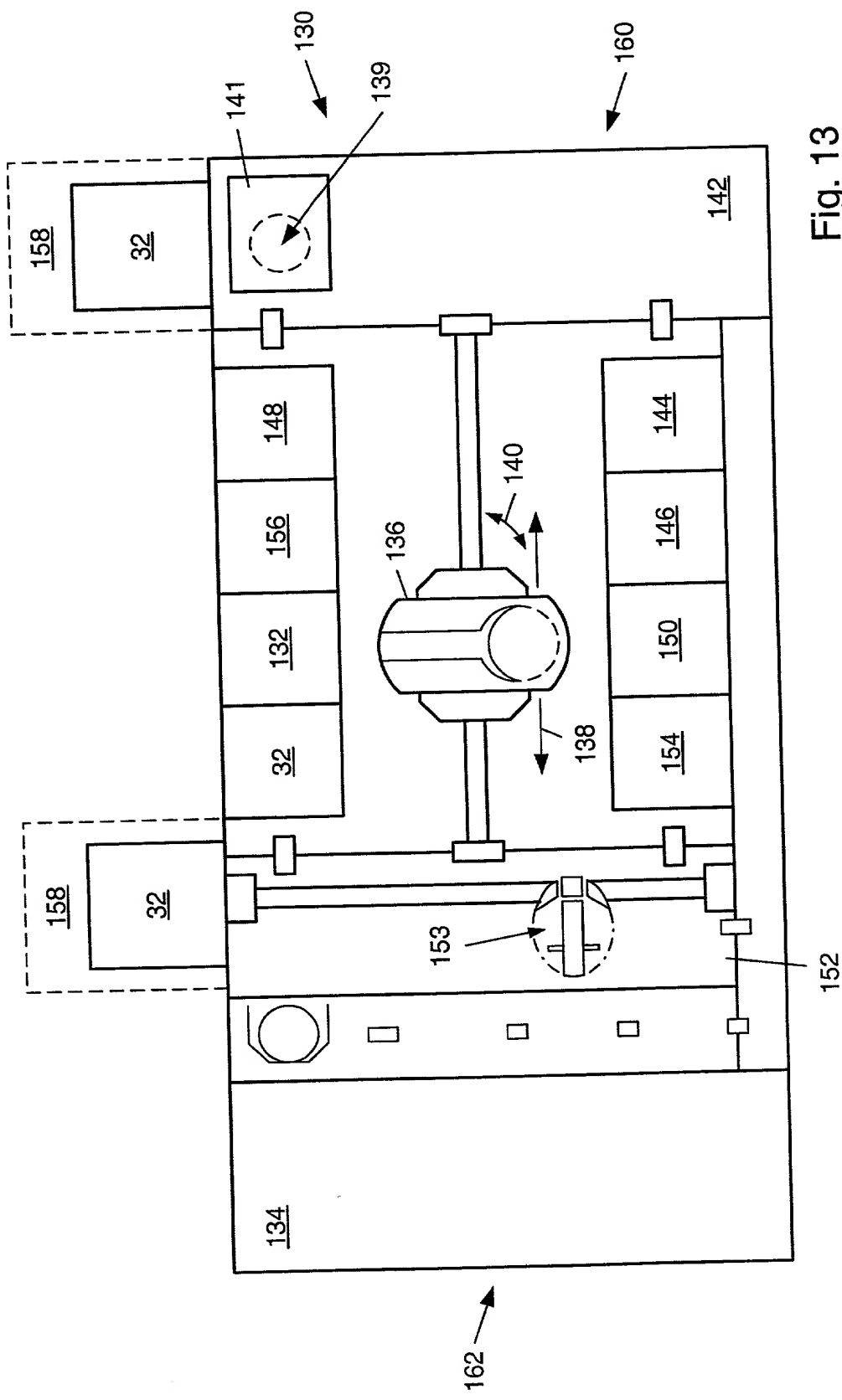


Fig. 12

Fig. 13



152

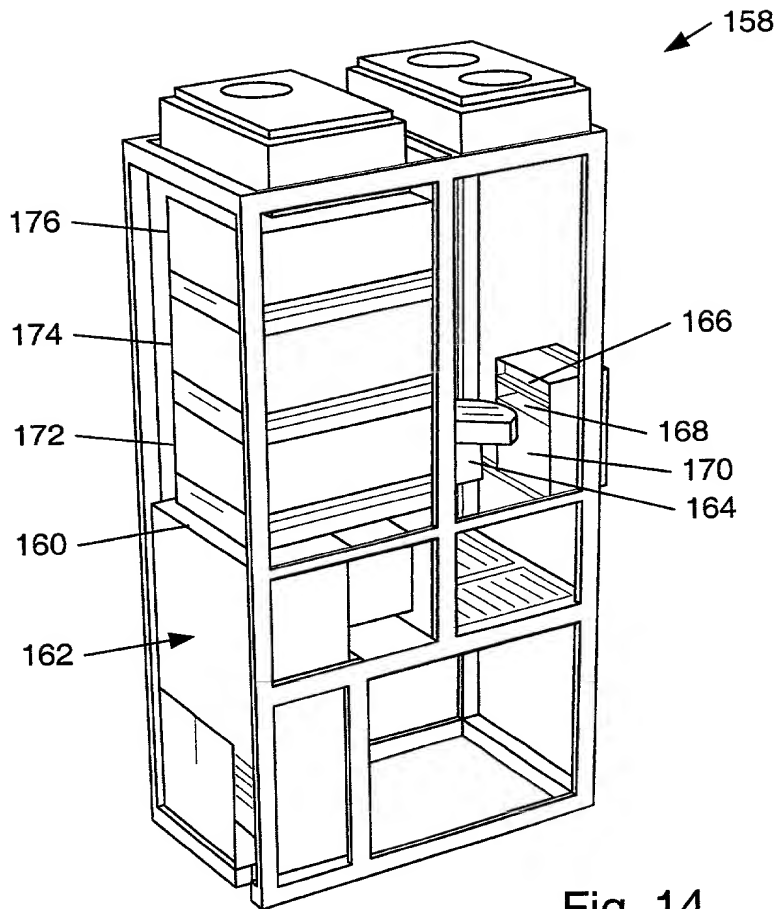


Fig. 14

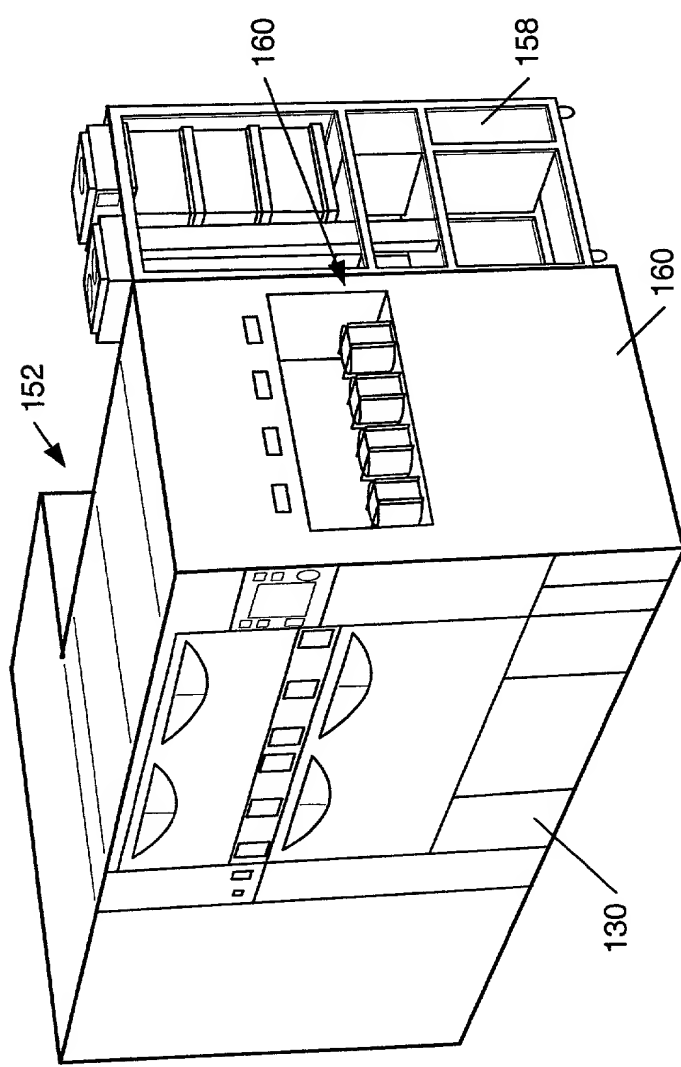


Fig. 15

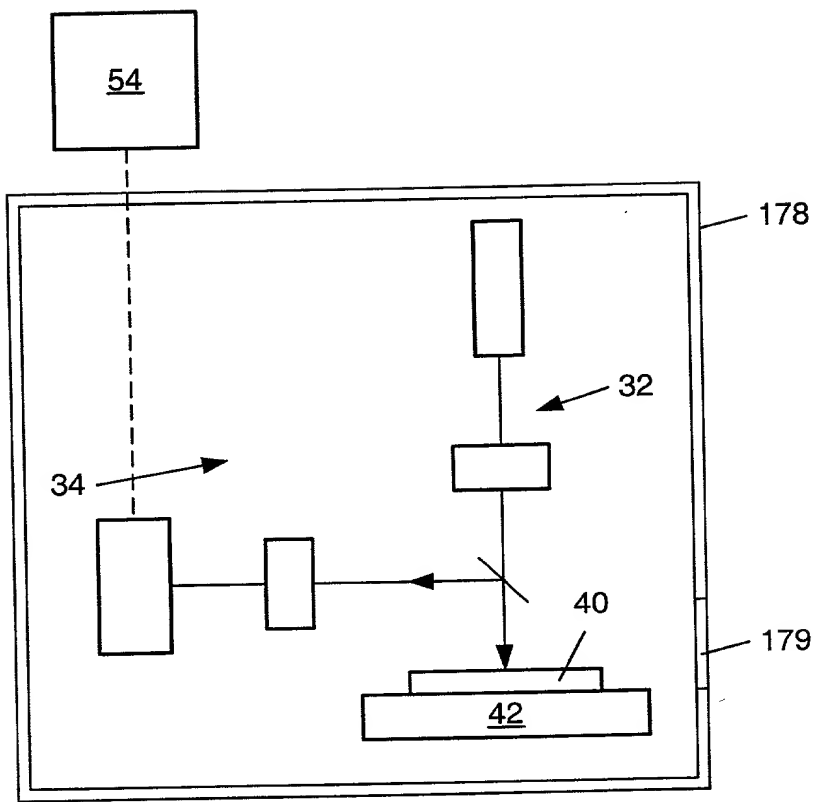
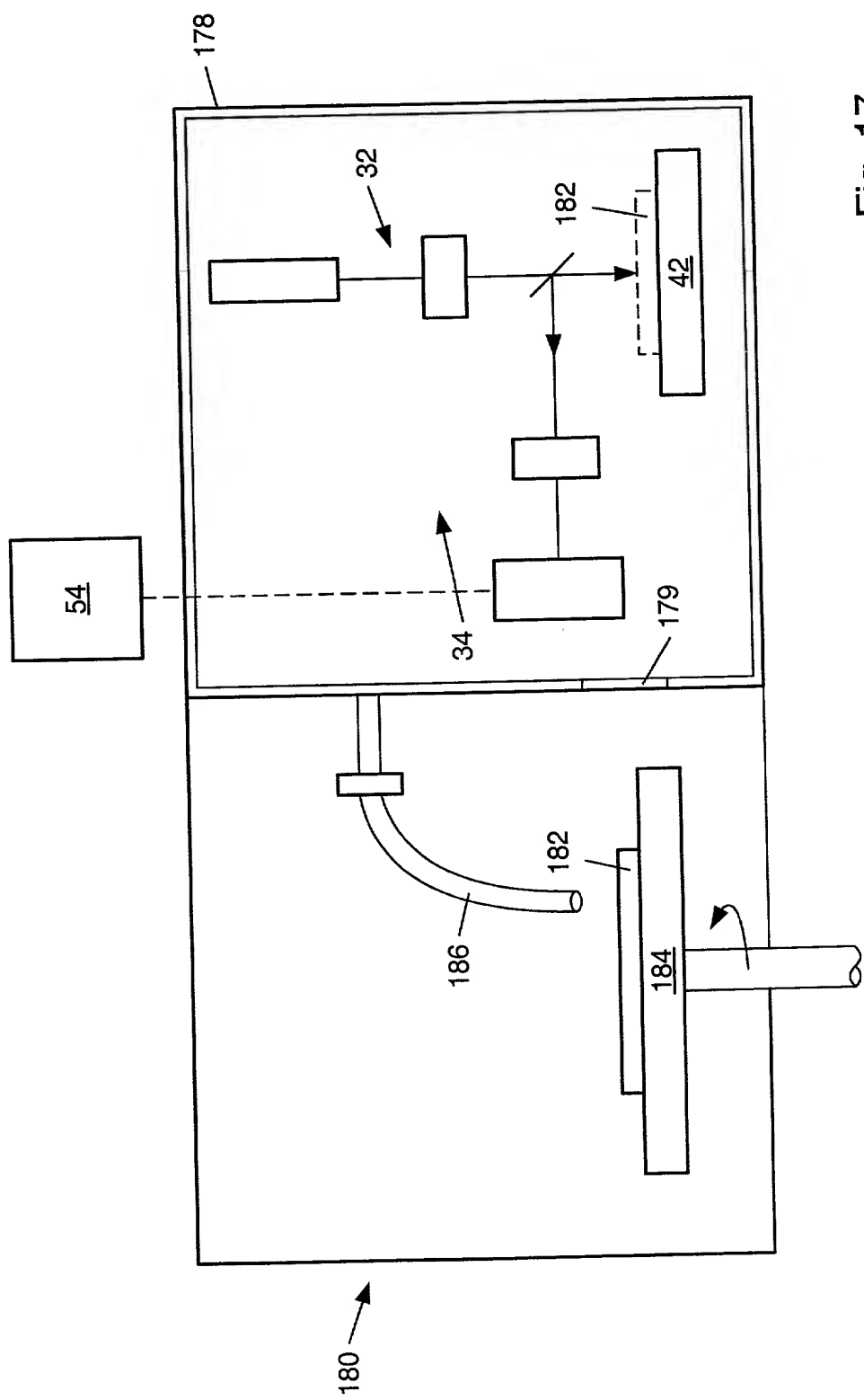


Fig. 16

Fig. 17



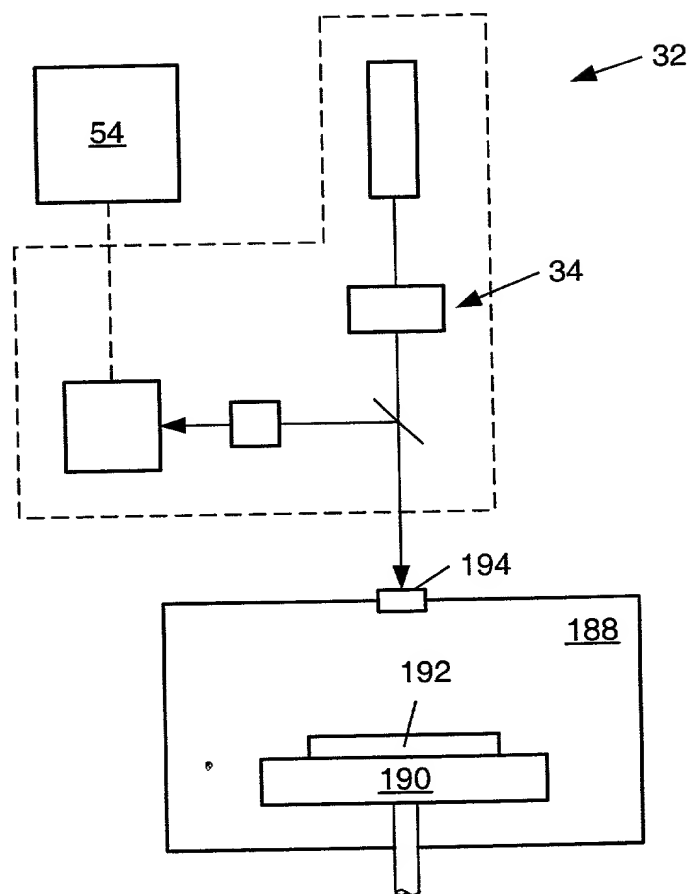


Fig. 18

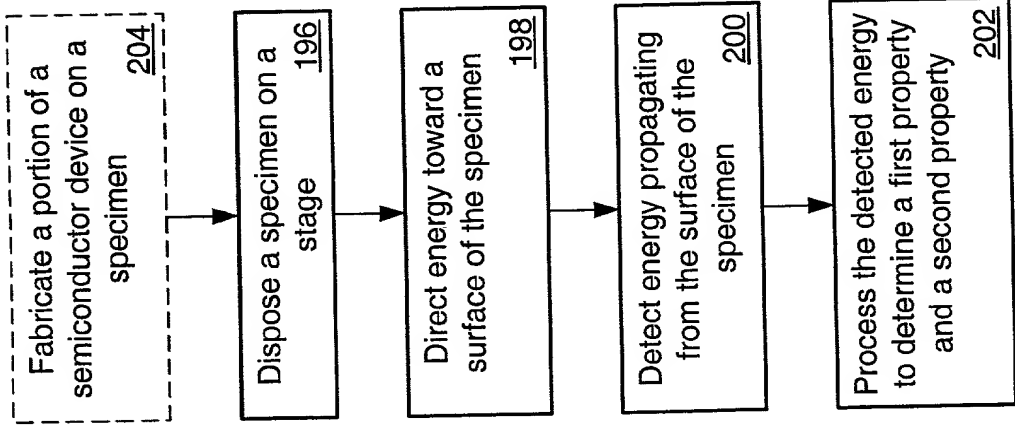


Fig. 19

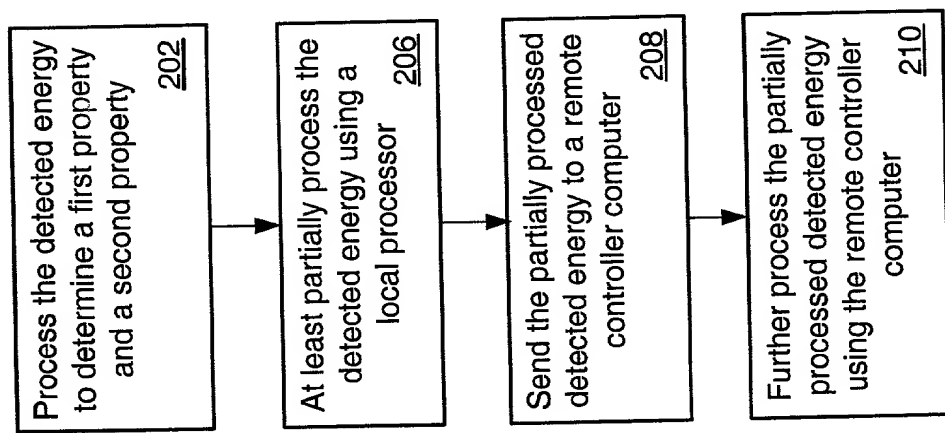


Fig. 20

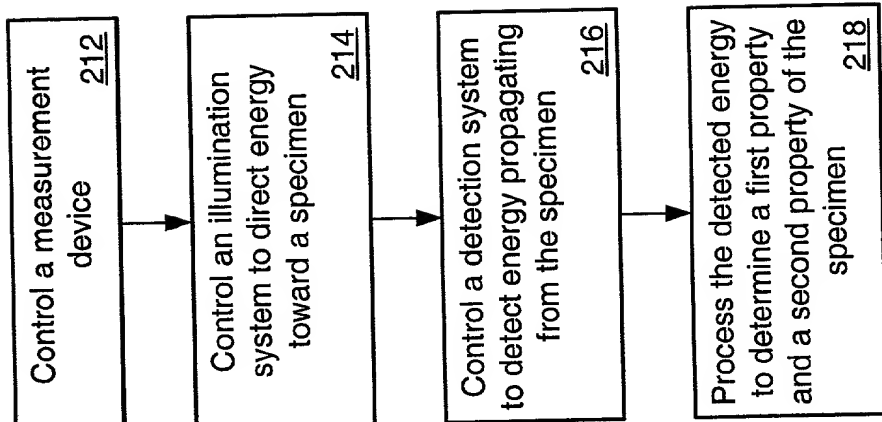


Fig. 21

Fig. 22

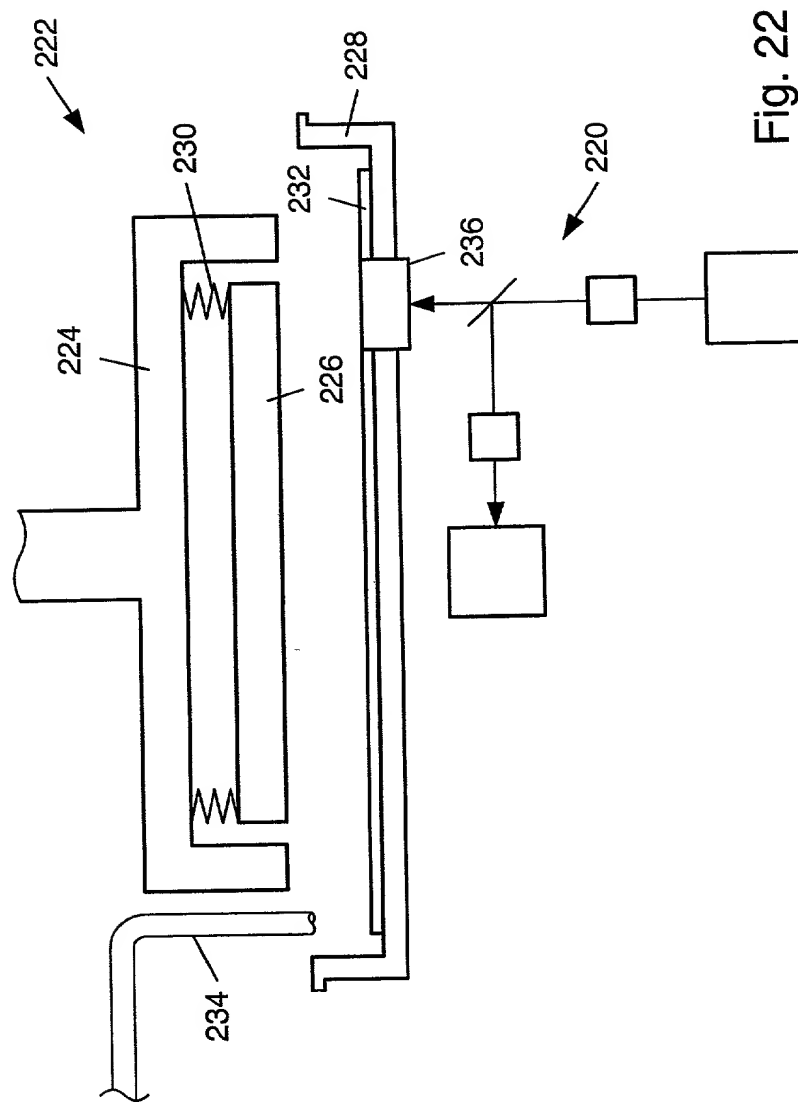
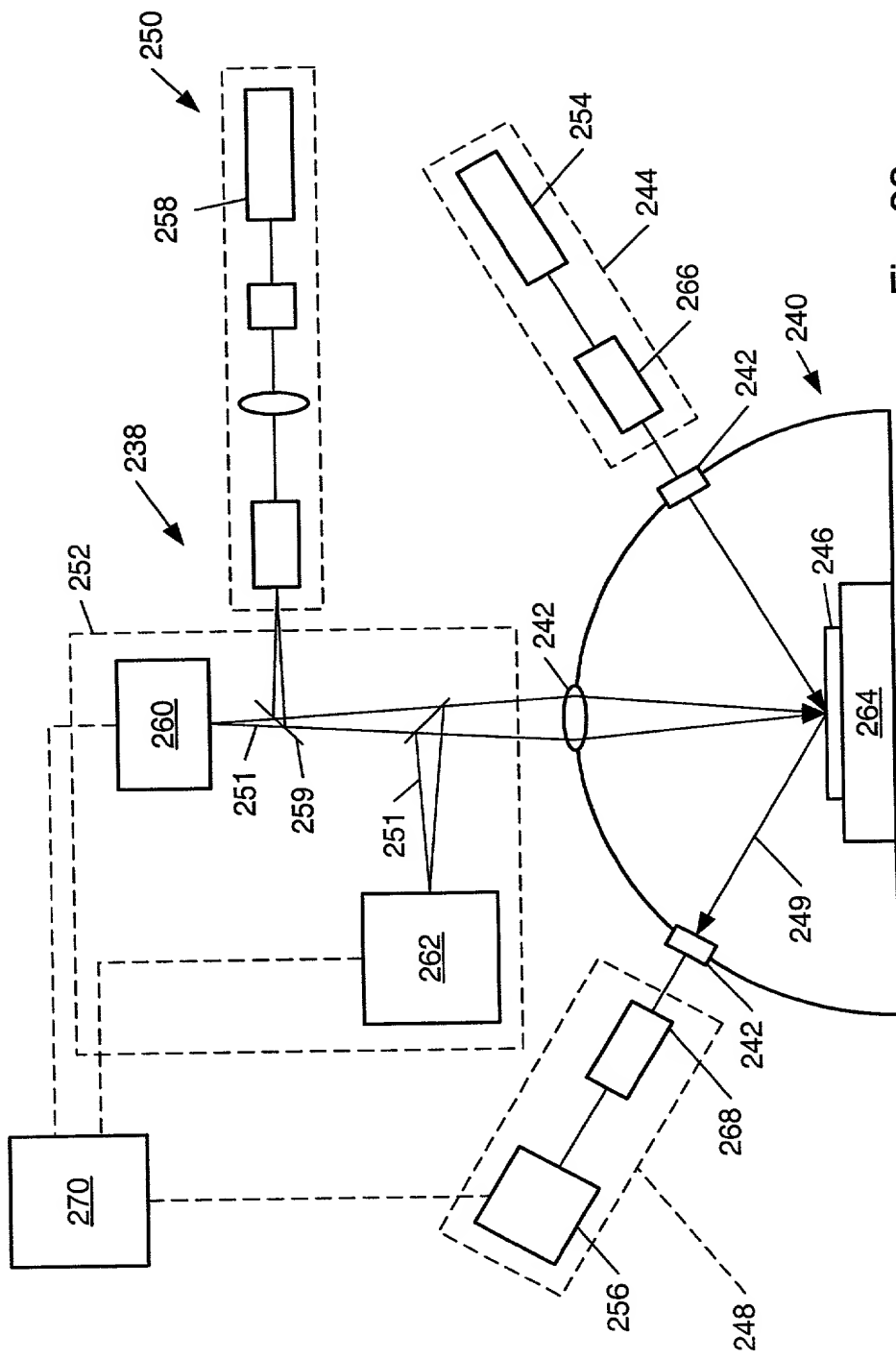


Fig. 23



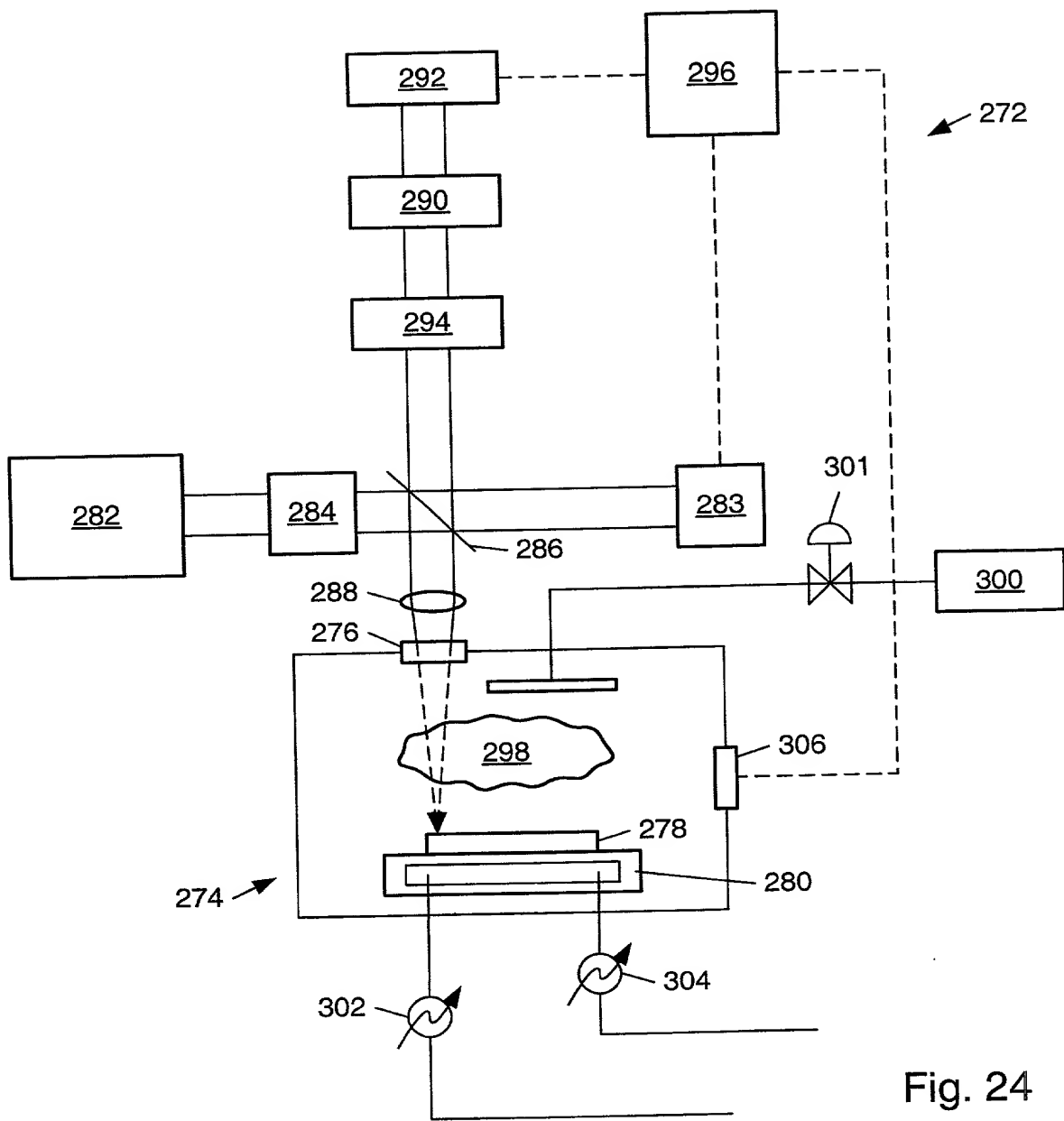
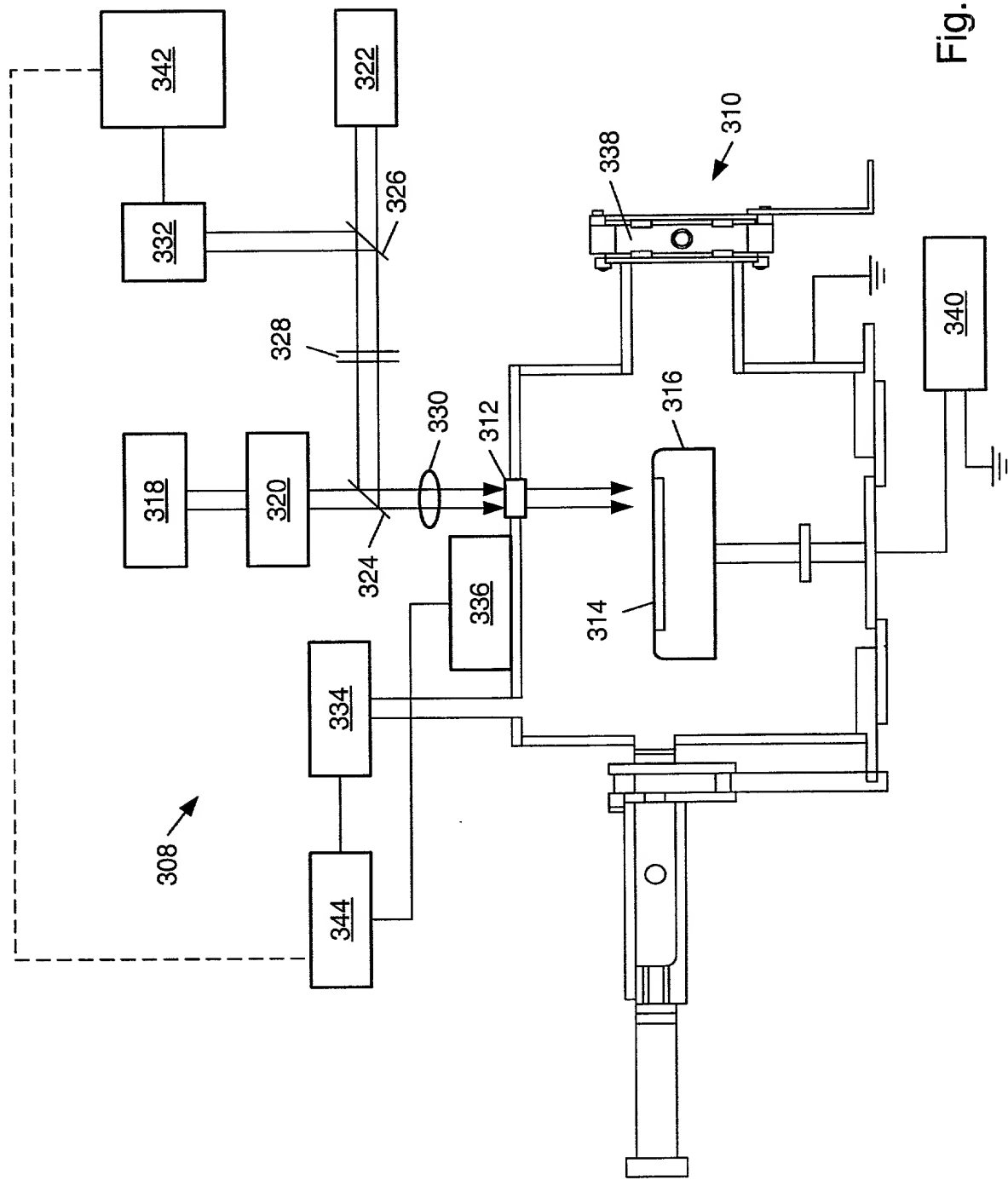


Fig. 24

Fig. 25



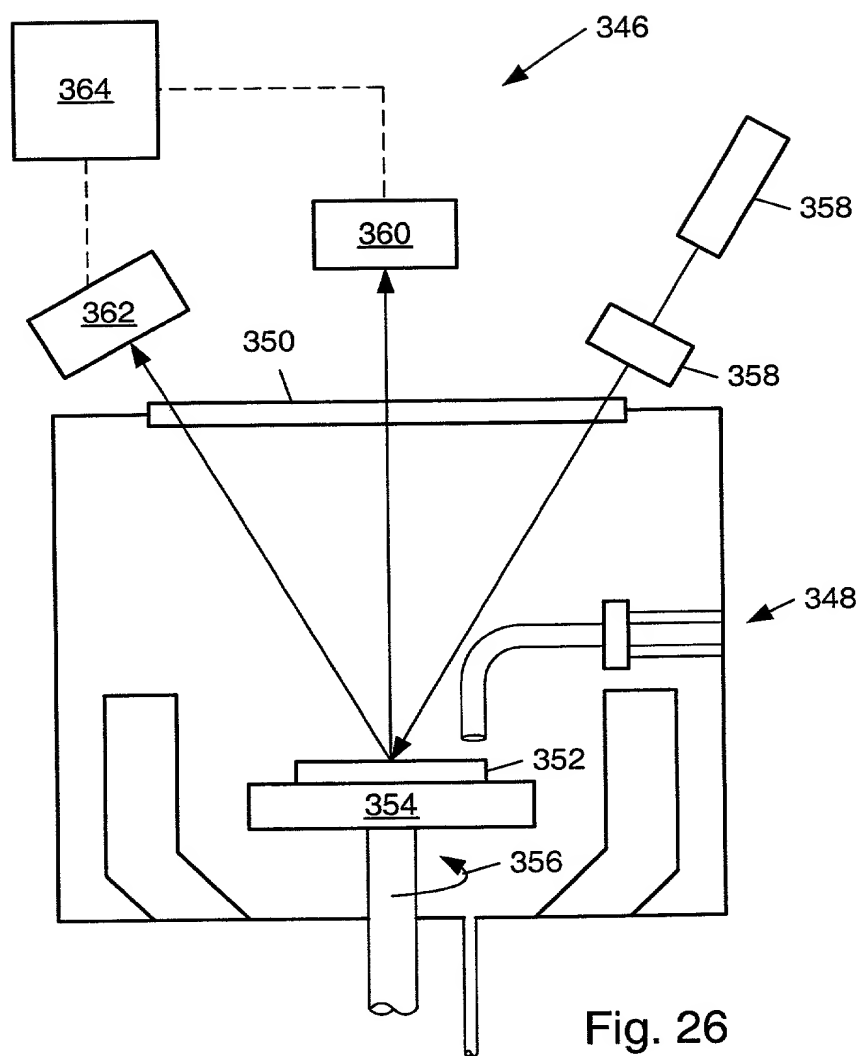


Fig. 26

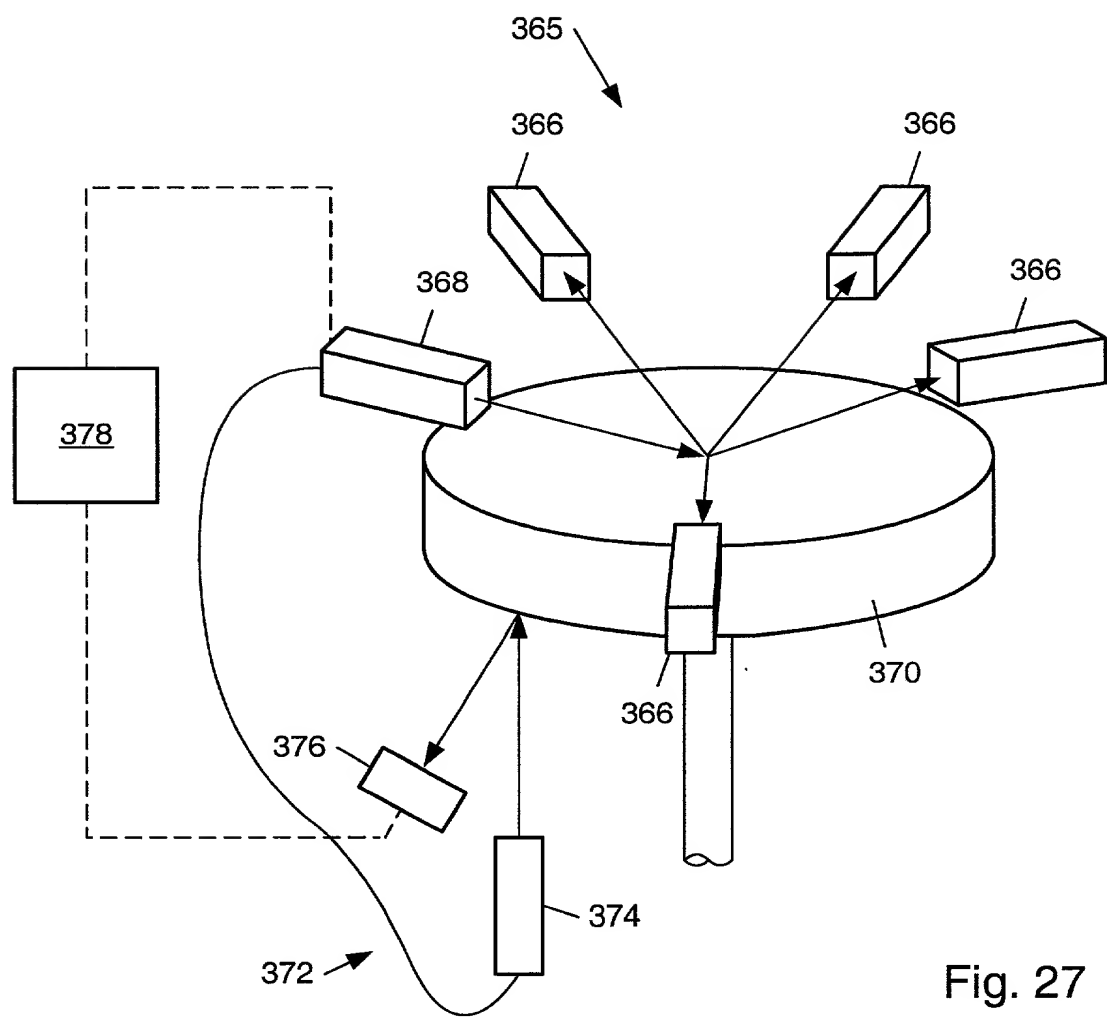


Fig. 27

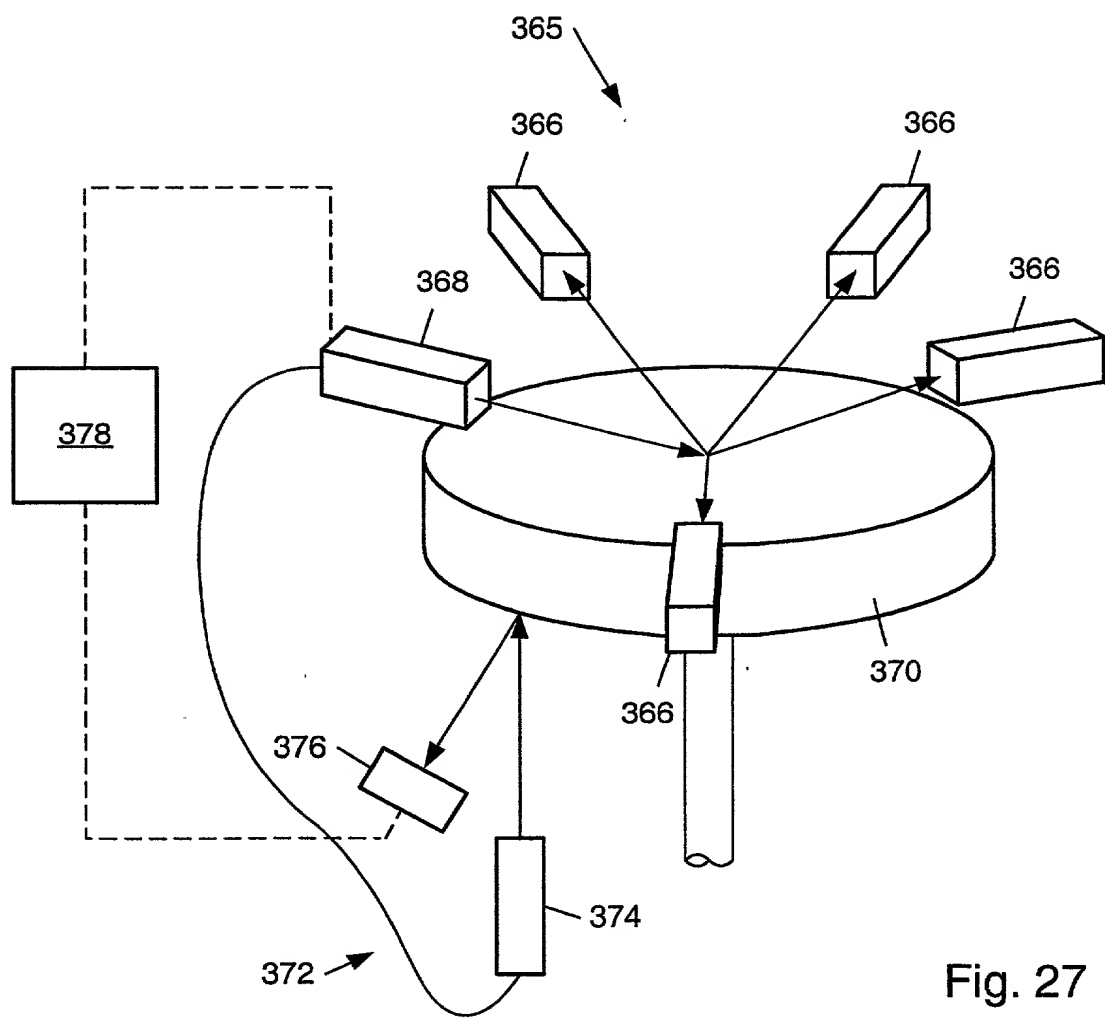


Fig. 27